194 Ir
77 Ir 117

1 Decay Scheme

Ir-194 decays 100% by beta minus to Pt-194. Most of the decay (85.4 (19)%) populates the ground state.
L'Ir-194 se désintègre à 100 % par émission bêta moins vers le Pt-194, essentiellement (85,4 %) vers le niveau fondamental.

2 Nuclear Data

$T_{1/2}$(^{194}Ir)	:	19,3	(1)	h
Q^-(^{194}Ir)	:	2246,8	(16)	keV

2.1 β^- Transitions

	Energy keV	Probability × 100	Nature	lg ft
$\beta^-_{0,26}$	88,9 (16)	0,0019 (3)	1st Forbidden	8,2
$\beta^-_{0,25}$	106,1 (16)	0,0021 (4)	1st Forbidden	8,4
$\beta^-_{0,24}$	112,7 (16)	0,046 (6)	1st Forbidden	7,1
$\beta^-_{0,23}$	132,7 (16)	0,0081 (11)	1st Forbidden	8,1
$\beta^-_{0,22}$	137,8 (16)	0,031 (4)	1st Forbidden	7,5
$\beta^-_{0,21}$	161,3 (16)	0,0066 (15)	1st Forbidden	8,4
$\beta^-_{0,20}$	183,1 (16)	0,0040 (6)	1st Forbidden	8,8
$\beta^-_{0,19}$	193,8 (16)	0,0030 (8)		9
$\beta^-_{0,18}$	203,2 (16)	0,0090 (13)	1st Forbidden	8,6
$\beta^-_{0,17}$	316,6 (16)	0,0032 (5)	1st Forbidden	9,7
$\beta^-_{0,16}$	322,6 (16)	0,0035 (5)	1st Forbidden	9,6
$\beta^-_{0,15}$	353,3 (16)	0,021 (3)	1st Forbidden	9
$\beta^-_{0,14}$	449,5 (16)	0,33 (4)	1st Forbidden	8,2
$\beta^-_{0,13}$	468,2 (16)	0,0035 (6)	1st Forbidden	10,2
$\beta^-_{0,12}$	576,3 (16)	0,072 (10)	1st Forbidden	9,2
$\beta^-_{0,11}$	624,8 (16)	0,160 (21)	1st Forbidden	8,9
$\beta^-_{0,10}$	699,7 (16)	0,070 (9)	1st Forbidden	9,5

	Energy keV	Probability × 100	Nature	lg ft
$\beta^-_{0,9}$	735,0 (16)	0,56 (7)	1st Forbidden	8,6
$\beta^-_{0,8}$	767,7 (16)	0,61 (8)	1st Forbidden	8,7
$\beta^-_{0,6}$	979,8 (16)	1,77 (23)	1st Forbidden	8,6
$\beta^-_{0,4}$	1324,2 (16)	0,30 (4)	Unique 1st Forbidden	10,5
$\beta^-_{0,2}$	1624,9 (16)	1,28 (20)	1st Forbidden	9,5
$\beta^-_{0,1}$	1918,5 (16)	9,3 (13)	1st Forbidden	8,9
$\beta^-_{0,0}$	2246,9 (16)	85,4 (19)	1st Forbidden	8,2

2.2 Gamma Transitions and Internal Conversion Coefficients

	Energy keV	$P_{\gamma+ce}$ × 100	Multipolarity	α_K	α_L	α_M	α_T
$\gamma_{4,3}$(Pt)	111,4 (4)	0,0087 (30)	[M1,E2]	2,4 (18)	1,3 (7)	0,40 (18)	4,1 (10)
$\gamma_{7,5}$(Pt)	202,91 (15)	0,0032 (8)	E1	0,056 (2)	0,0093 (3)	0,0027 (1)	0,068 (2)
$\gamma_{9,6}$(Pt)	244,83 (5)	0,0091 (13)	E2	0,102 (3)	0,063 (2)	0,020 (1)	0,186 (6)
$\gamma_{2,1}$(Pt)	293,541 (14)	2,8 (4)	E2+1%M1+E0	0,066 (2)	0,031 (1)	0,010 (1)	0,107 (3)
$\gamma_{4,2}$(Pt)	300,741 (14)	0,39 (5)	E2(+<6%M1)	0,061 (2)	0,028 (1)	0,014 (1)	0,103 (4)
$\gamma_{1,0}$(Pt)	328,448 (14)	14,1 (19)	E2	0,049 (2)	0,020 (1)	0,0070 (2)	0,076 (2)
$\gamma_{14,7}$(Pt)	364,867 (15)	0,043 (6)	E2	0,038 (11)	0,014 (1)	0,0050 (2)	0,0568 (17)
$\gamma_{3,1}$(Pt)	482,857 (26)	0,047 (6)	E2	0,0200 (6)	0,0056 (2)	0,0016 (1)	0,0272 (8)
$\gamma_{14,6}$(Pt)	530,174 (30)	0,016 (2)	E1	0,00614 (18)	0,000945 (28)	0,000217 (7)	0,00737 (22)
$\gamma_{9,4}$(Pt)	589,180 (17)	0,143 (19)	E2+17%M1	0,0181 (5)	0,0037 (3)	0,0013 (1)	0,0231 (24)
$\gamma_{4,1}$(Pt)	594,292 (19)	0,063 (8)	E2(+<1%M1)	0,0126 (4)	0,0030 (1)	0,0010 (1)	0,0166 (5)
$\gamma_{5,2}$(Pt)	607,61 (8)	0,0040 (6)	E2	0,0121 (4)	0,0028 (1)	0,0010 (1)	0,0158 (5)
$\gamma_{7,3}$(Pt)	621,29 (15)	0,0097 (18)	E1+3%M2	0,0074 (15)	0,0013 (3)		0,0091 (18)
$\gamma_{2,0}$(Pt)	621,972 (19)	0,33 (5)	E2	0,0115 (4)	0,0025 (1)		0,0150 (5)
$\gamma_{6,2}$(Pt)	645,147 (20)	1,20 (16)	E2	0,0106 (3)	0,0024 (1)		0,0138 (4)
$\gamma_{11,4}$(Pt)	699,5 (4)	0,0026 (13)	[M1,E2]	0,019 (10)	0,0032 (14)		0,023 (11)
$\gamma_{9,3}$(Pt)	700,55 (4)	0,026 (5)	E2	0,0089 (3)	0,0019 (1)		0,0115 (4)
$\gamma_{7,2}$(Pt)	810,66 (19)	0,0025 (6)	[E1]	0,0027 (1)			0,0032 (1)
$\gamma_{8,2}$(Pt)	857,12 (19)	0,0072 (12)	[E2]	0,0060 (2)			0,0075 (2)
$\gamma_{12,3}$(Pt)	859,45 (18)	0,0017 (8)	[E2]	0,0060 (2)			0,0075 (2)
$\gamma_{9,2}$(Pt)	889,98 (4)	0,052 (7)	E2+31%M1	0,0085 (14)	0,0015 (2)		0,0105 (17)
$\gamma_{10,2}$(Pt)	925,26 (6)	0,0127 (18)	E2	0,0052 (2)			0,0065 (2)
$\gamma_{6,1}$(Pt)	938,690 (25)	0,60 (8)	E2	0,0050 (2)	0,00090 (3)		0,00627 (19)
$\gamma_{11,2}$(Pt)	1000,12 (4)	0,047 (6)	E2+34%M1	0,0068 (15)	0,00113 (21)		0,0083 (18)
$\gamma_{12,2}$(Pt)	1048,64 (5)	0,026 (4)	M1(+<40%E2)	0,0077 (24)	0,0012 (40)		0,011 (1)
$\gamma_{7,1}$(Pt)	1104,05 (5)	0,026 (4)	E1	0,00149 (5)			0,00178 (5)
$\gamma_{8,1}$(Pt)	1150,75 (5)	0,60 (8)	E2	0,00342 (10)			0,00420 (13)
$\gamma_{13,2}$(Pt)	1156,6 (3)	0,0018 (5)	M1(+E2)	0,0073 (16)			0,0088 (19)
$\gamma_{14,2}$(Pt)	1175,38 (5)	0,061 (8)	E1	0,00133 (4)			0,00159 (5)
$\gamma_{9,1}$(Pt)	1183,49 (5)	0,31 (4)	E2+36%M1	0,00476 (14)			0,00579 (17)
$\gamma_{22,4}$(Pt)	1186,4 (4)	0,0084 (19)	E2(+M1)	0,0046 (14)			0,0056 (17)
$\gamma_{10,1}$(Pt)	1218,78 (5)	0,056 (8)	E2	0,00307 (9)			0,00376 (11)
$\gamma_{11,1}$(Pt)	1293,67 (6)	0,047 (7)	M1+45%E2	0,016 (8)			0,02 (1)
$\gamma_{17,2}$(Pt)	1308,15 (12)	0,00131 (22)	E2(+M1)	0,0032 (5)			0,0039 (6)
$\gamma_{12,1}$(Pt)	1342,16 (6)	0,038 (5)	M1+E2	0,0040 (15)			0,005 (2)
$\gamma_{18,2}$(Pt)	1421,49 (28)	0,00063 (21)	M1(+E2)	0,0043 (10)			0,0052 (13)
$\gamma_{19,2}$(Pt)	1431,36 (34)	0,0022 (7)					
$\gamma_{7,0}$(Pt)	1432,53 (12)	0,0011 (3)	[E3]	0,00455 (14)			0,00571 (17)
$\gamma_{20,2}$(Pt)	1441,79 (14)	0,0015 (3)	M1+E2	0,0034 (4)			0,0041 (5)
$\gamma_{13,1}$(Pt)	1450,24 (11)	0,0016 (3)	M1+E2	0,0033 (3)			0,0040 (3)
$\gamma_{21,2}$(Pt)	1463,50 (15)	0,0059 (14)	E2	0,00220 (7)			0,00267 (8)

	Energy keV	$P_{\gamma+ce}$ × 100	Multipolarity	α_K	α_L	α_M	α_T
$\gamma_{14,1}$(Pt)	1468,92 (7)	0,19 (3)	E1	0,00092 (3)			0,00109 (3)
$\gamma_{8,0}$(Pt)	1479,2	0,022 (3)	E0				
$\gamma_{22,2}$(Pt)	1487,06 (8)	0,0171 (23)	M1(+E2)	0,0037 (10)			0,0045 (12)
$\gamma_{23,2}$(Pt)	1492,19 (13)	0,0015 (3)	M1(+E2)	0,0037 (10)			0,0045 (12)
$\gamma_{9,0}$(Pt)	1511,99 (10)	0,024 (4)	(E2)	0,00208 (6)			0,00249 (7)
$\gamma_{24,2}$(Pt)	1512,16 (21)	0,0132 (18)					
$\gamma_{25,2}$(Pt)	1518,77 (14)	0,0017 (3)					
$\gamma_{15,1}$(Pt)	1565,16 (8)	0,021 (3)					
$\gamma_{16,1}$(Pt)	1595,78 (10)	0,0016 (3)					
$\gamma_{17,1}$(Pt)	1601,90 (12)	0,0020 (3)					
$\gamma_{11,0}$(Pt)	1622,20 (18)	0,064 (9)					
$\gamma_{12,0}$(Pt)	1670,73 (10)	0,0058 (8)					
$\gamma_{(-1,1)}$(Pt)	1675,25 (17)	0,00086 (18)					
$\gamma_{18,1}$(Pt)	1715,29 (11)	0,00131 (21)					
$\gamma_{19,1}$(Pt)	1724,55 (15)	0,00076 (14)					
$\gamma_{20,1}$(Pt)	1735,38 (12)	0,0025 (4)					
$\gamma_{21,1}$(Pt)	1757,28 (19)	0,00042 (11)					
$\gamma_{22,1}$(Pt)	1780,70 (11)	0,0052 (8)					
$\gamma_{23,1}$(Pt)	1785,70 (11)	0,0040 (6)					
$\gamma_{14,0}$(Pt)	1797,49 (9)	0,0176 (2)					
$\gamma_{24,1}$(Pt)	1805,76 (9)	0,032 (5)					
$\gamma_{25,1}$(Pt)	1812,60 (25)	0,00045 (14)					
$\gamma_{26,1}$(Pt)	1829,60 (15)	0,0019 (3)					
$\gamma_{16,0}$(Pt)	1924,43 (14)	0,0018 (3)					
$\gamma_{18,0}$(Pt)	2043,73 (11)	0,0071 (10)					
$\gamma_{23,0}$(Pt)	2114,20 (14)	0,0026 (4)					
$\gamma_{(-1,2)}$(Pt)	2207 (1)	0,0013 (4)					

3 Atomic Data

3.1 Pt

ω_K	:	0,959	(4)
$\bar{\omega}_L$	:	0,331	(13)
n_{KL}	:	0,818	(4)

3.1.1 X Radiations

		Energy keV		Relative probability
X_K				
	$K\alpha_2$	65,123		58,5
	$K\alpha_1$	66,833		100
	$K\beta_3$	75,369	}	
	$K\beta_1$	75,749	}	
	$K\beta_5''$	76,198	}	33,7
	$K\beta_5'$	76,273	}	
	$K\beta_2$	77,786	}	
	$K\beta_4$	78,07	}	9,6
	$KO_{2,3}$	78,341	}	

		Energy keV	Relative probability
X_L			
	$L\ell$	8,268	
	$L\gamma$	– 13,361	

3.1.2 Auger Electrons

		Energy keV	Relative probability
Auger K			
	KLL	50,40 – 55,02	100
	KLX	61,12 – 64,62	54,6
	KXY	71,7 – 74,1	7,45

4 Electron Emissions

		Energy keV		Electrons per 100 disint.
e_{AK}	(Pt)			0,035 (4)
	KLL	50,40	- 55,02	}
	KLX	61,12	- 64,62	}
	KXY	71,7	- 74,1	}
$ec_{2,1\ K}$	(Pt)	215,146	(14)	0,166 (22)
$ec_{1,0\ K}$	(Pt)	250,053	(14)	0,64 (9)
$ec_{2,1\ L}$	(Pt)	279,7	- 282,0	0,078 (11)
$ec_{1,0\ L}$	(Pt)	314,6	- 316,9	0,26 (4)
$ec_{1,0\ M}$	(Pt)	325,2	- 326,2	0,092 (12)
$\beta^-_{0,26}$	max:	88,9	(16)	0,0019 (3)
$\beta^-_{0,26}$	avg:	23,0	(4)	
$\beta^-_{0,25}$	max:	106,1	(16)	0,0021 (4)
$\beta^-_{0,25}$	avg:	27,7	(4)	
$\beta^-_{0,24}$	max:	112,7	(16)	0,046 (6)
$\beta^-_{0,24}$	avg:	29,5	(4)	
$\beta^-_{0,23}$	max:	132,7	(16)	0,0081 (11)
$\beta^-_{0,23}$	avg:	35,0	(5)	
$\beta^-_{0,22}$	max:	137,8	(16)	0,031 (4)
$\beta^-_{0,22}$	avg:	36,5	(5)	
$\beta^-_{0,21}$	max:	161,3	(16)	0,0066 (15)
$\beta^-_{0,21}$	avg:	43,1	(4)	

		Energy keV		Electrons per 100 disint.
$\beta^-_{0,20}$	max:	183,1	(16)	0,0040 (6)
$\beta^-_{0,20}$	avg:	49,3	(5)	
$\beta^-_{0,19}$	max:	193,8	(16)	0,0030 (8)
$\beta^-_{0,19}$	avg:	52,4	(5)	
$\beta^-_{0,18}$	max:	203,2	(16)	0,0090 (13)
$\beta^-_{0,18}$	avg:	55,1	(5)	
$\beta^-_{0,17}$	max:	316,6	(16)	0,0032 (5)
$\beta^-_{0,17}$	avg:	89,3	(5)	
$\beta^-_{0,16}$	max:	322,6	(16)	0,0035 (5)
$\beta^-_{0,16}$	avg:	91,2	(5)	
$\beta^-_{0,15}$	max:	353,3	(16)	0,021 (3)
$\beta^-_{0,15}$	avg:	10,9	(5)	
$\beta^-_{0,14}$	max:	449,5	(16)	0,33 (4)
$\beta^-_{0,14}$	avg:	132,0	(5)	
$\beta^-_{0,13}$	max:	468,2	(16)	0,0035 (6)
$\beta^-_{0,13}$	avg:	138,2	(5)	
$\beta^-_{0,12}$	max:	576,3	(16)	0,072 (10)
$\beta^-_{0,12}$	avg:	175,0	(6)	
$\beta^-_{0,11}$	max:	624,8	(16)	0,160 (21)
$\beta^-_{0,11}$	avg:	192,0	(6)	
$\beta^-_{0,10}$	max:	699,7	(16)	0,070 (9)
$\beta^-_{0,10}$	avg:	218,7	(6)	
$\beta^-_{0,9}$	max:	735,0	(16)	0,56 (7)
$\beta^-_{0,9}$	avg:	231,5	(6)	
$\beta^-_{0,8}$	max:	767,7	(16)	0,61 (8)
$\beta^-_{0,8}$	avg:	243,4	(6)	
$\beta^-_{0,6}$	max:	979,8	(16)	1,77 (23)
$\beta^-_{0,6}$	avg:	323,1	(6)	
$\beta^-_{0,4}$	max:	1324,2	(16)	0,30 (4)
$\beta^-_{0,4}$	avg:	452,4	(6)	
$\beta^-_{0,2}$	max:	1624,9	(16)	1,28 (20)
$\beta^-_{0,2}$	avg:	582,2	(7)	
$\beta^-_{0,1}$	max:	1918,5	(16)	9,3 (13)
$\beta^-_{0,1}$	avg:	705,4	(7)	
$\beta^-_{0,0}$	max:	2246,9	(16)	85,4 (19)
$\beta^-_{0,0}$	avg:	845,7	(7)	

5 Photon Emissions

5.1 X-Ray Emissions

		Energy keV		Photons per 100 disint.	
XL	(Pt)	8,268 — 13,361		0,36 (6)	
$XK\alpha_2$	(Pt)	65,123		0,24 (3)	} $K\alpha$
$XK\alpha_1$	(Pt)	66,833		0,41 (5)	}
$XK\beta_3$	(Pt)	75,369	}		
$XK\beta_1$	(Pt)	75,749	}	0,00138 (19)	$K'\beta_1$
$XK\beta_5''$	(Pt)	76,198	}		
$XK\beta_5'$	(Pt)	76,273	}		
$XK\beta_2$	(Pt)	77,786	}		
$XK\beta_4$	(Pt)	78,07	}	0,00040 (5)	$K'\beta_2$
$XKO_{2,3}$	(Pt)	78,341	}		

5.2 Gamma Emissions

	Energy keV	Photons per 100 disint.
$\gamma_{4,3}$(Pt)	111,4 (4)	0,0017 (6)
$\gamma_{7,5}$(Pt)	202,91 (15)	0,0030 (8)
$\gamma_{9,6}$(Pt)	244,83 (5)	0,0077 (11)
$\gamma_{2,1}$(Pt)	293,541 (14)	2,5 (3)
$\gamma_{4,2}$(Pt)	300,741 (14)	0,35 (5)
$\gamma_{1,0}$(Pt)	328,448 (14)	13,1 (17)
$\gamma_{14,7}$(Pt)	364,867 (15)	0,041 (6)
$\gamma_{3,1}$(Pt)	482,857 (26)	0,046 (6)
$\gamma_{14,6}$(Pt)	530,173 (30)	0,016 (2)
$\gamma_{9,4}$(Pt)	589,179 (17)	0,140 (18)
$\gamma_{4,1}$(Pt)	594,291 (19)	0,062 (8)
$\gamma_{5,2}$(Pt)	607,61 (8)	0,0039 (6)
$\gamma_{7,3}$(Pt)	621,29 (15)	0,0096 (18)
$\gamma_{2,0}$(Pt)	621,971 (19)	0,33 (5)
$\gamma_{6,2}$(Pt)	645,146 (20)	1,18 (16)
$\gamma_{11,4}$(Pt)	699,5 (4)	0,0025 (13)
$\gamma_{9,3}$(Pt)	700,55 (4)	0,026 (5)
$\gamma_{7,2}$(Pt)	810,66 (19)	0,0025 (6)
$\gamma_{8,2}$(Pt)	857,12 (19)	0,0071 (12)
$\gamma_{12,3}$(Pt)	859,45 (18)	0,0017 (8)
$\gamma_{9,2}$(Pt)	889,98 (4)	0,051 (7)

	Energy keV	Photons per 100 disint.
$\gamma_{10,2}$(Pt)	925,26 (6)	0,0126 (18)
$\gamma_{6,1}$(Pt)	938,690 (25)	0,60 (8)
$\gamma_{11,2}$(Pt)	1000,12 (4)	0,047 (6)
$\gamma_{12,2}$(Pt)	1048,64 (5)	0,026 (4)
$\gamma_{7,1}$(Pt)	1104,05 (5)	0,026 (4)
$\gamma_{8,1}$(Pt)	1150,75 (5)	0,60 (8)
$\gamma_{13,2}$(Pt)	1156,6 (3)	0,0018 (5)
$\gamma_{14,2}$(Pt)	1175,38 (5)	0,061 (8)
$\gamma_{9,1}$(Pt)	1183,49 (5)	0,31 (4)
$\gamma_{22,4}$(Pt)	1186,4 (4)	0,0084 (19)
$\gamma_{10,1}$(Pt)	1218,78 (5)	0,056 (8)
$\gamma_{11,1}$(Pt)	1293,67 (6)	0,046 (7)
$\gamma_{17,2}$(Pt)	1308,15 (12)	0,00130 (22)
$\gamma_{12,1}$(Pt)	1342,16 (6)	0,038 (5)
$\gamma_{18,2}$(Pt)	1421,48 (28)	0,00063 (21)
$\gamma_{19,2}$(Pt)	1431,35 (34)	0,0022 (7)
$\gamma_{7,0}$(Pt)	1432,52 (12)	0,0011 (3)
$\gamma_{20,2}$(Pt)	1441,78 (14)	0,0015 (3)
$\gamma_{13,1}$(Pt)	1450,23 (11)	0,0016 (3)
$\gamma_{21,2}$(Pt)	1463,50 (15)	0,0059 (14)
$\gamma_{14,1}$(Pt)	1468,91 (7)	0,19 (3)
$\gamma_{22,2}$(Pt)	1487,05 (8)	0,0170 (23)
$\gamma_{23,2}$(Pt)	1492,18 (13)	0,0015 (3)
$\gamma_{9,0}$(Pt)	1511,98 (10)	0,024 (4)
$\gamma_{24,2}$(Pt)	1512,15 (21)	0,0132 (18)
$\gamma_{25,2}$(Pt)	1518,76 (14)	0,0017 (3)
$\gamma_{15,1}$(Pt)	1565,15 (8)	0,021 (3)
$\gamma_{16,1}$(Pt)	1595,77 (10)	0,0016 (3)
$\gamma_{17,1}$(Pt)	1601,90 (12)	0,0020 (3)
$\gamma_{11,0}$(Pt)	1622,20 (18)	0,064 (9)
$\gamma_{12,0}$(Pt)	1670,72 (10)	0,0058 (8)
$\gamma_{(-1,1)}$(Pt)	1675,24 (17)	0,00086 (18)
$\gamma_{18,1}$(Pt)	1715,28 (11)	0,00131 (21)
$\gamma_{19,1}$(Pt)	1724,54 (15)	0,00076 (14)
$\gamma_{20,1}$(Pt)	1735,37 (12)	0,0025 (4)
$\gamma_{21,1}$(Pt)	1757,27 (19)	0,00042 (11)
$\gamma_{22,1}$(Pt)	1780,69 (11)	0,0052 (8)
$\gamma_{23,1}$(Pt)	1785,69 (11)	0,0040 (6)
$\gamma_{14,0}$(Pt)	1797,48 (9)	0,0176 (2)
$\gamma_{24,1}$(Pt)	1805,75 (9)	0,032 (5)
$\gamma_{25,1}$(Pt)	1812,59 (25)	0,00045 (14)
$\gamma_{26,1}$(Pt)	1829,59 (15)	0,0019 (3)
$\gamma_{16,0}$(Pt)	1924,42 (14)	0,0018 (3)
$\gamma_{18,0}$(Pt)	2043,72 (11)	0,0071 (10)
$\gamma_{23,0}$(Pt)	2114,20 (14)	0,0026 (4)
$\gamma_{(-1,2)}$(Pt)	2207 (1)	0,0013 (4)

6 Main Production Modes

Ir – 193(n,γ)Ir – 194 σ : 111 (5) barns

Daughter of Os – 194

7 References

- L. J. Goodman, M. L. Pool. Phys. Rev. 71 (1947) 288
  (half-life)
- L. Seren, H. N. Friedlander. Phys. Rev. 72 (1947) 888
  (half-life)
- M. Peisach. Radiochim. Acta 2 (1964) 197
  (half-life)
- J. D. MacArthur, M. W. Johns. Nucl. Phys. 61 (1965) 394
  (Beta- branching Ratios)
- D. C. Williams. Phys. Rev. 143 (1966) 855
  (gamma-ray emission probabilities.)
- J. F. Emery, S. A. Reynolds, E. I. Wyatt, G. I. Gleason. Nucl. Sci. Eng. 48 (1972) 319
  (half-life)
- J. S. Geiger. Can. J. Phys. 50 (1972) 1480
  (half-life)
- R. L. Heath. Report ANCR-1000-2 (1974)
  (gamma-ray energies and emission probabilities)
- W. E. Cleveland, E. F. Zganjar. Z. Phys. A279 (1976) 195
  (gamma-ray energies and emission probabilities)
- F. Rösel, H. M. Fries, K. Alder, H. C. Pauli. At. Data Nucl. Data Tables 21 (1978) 92
  (Theoretical Internal Conversion Coefficients)
- T. W. Burrows. Report BNL-NCS-52142 (1988)
  (The Program RADLST)
- B. Singh. Nucl. Data Sheets 56 (1989) 75
  (ENSDF evaluation of A=194)
- G. Audi, A. H. Wapstra. Nucl. Phys. A595 (1995) 409
  (Q)
- E. Schönfeld, H. Janssen. Nucl. Inst. A369 (1996) 527
  (Atomic Data)

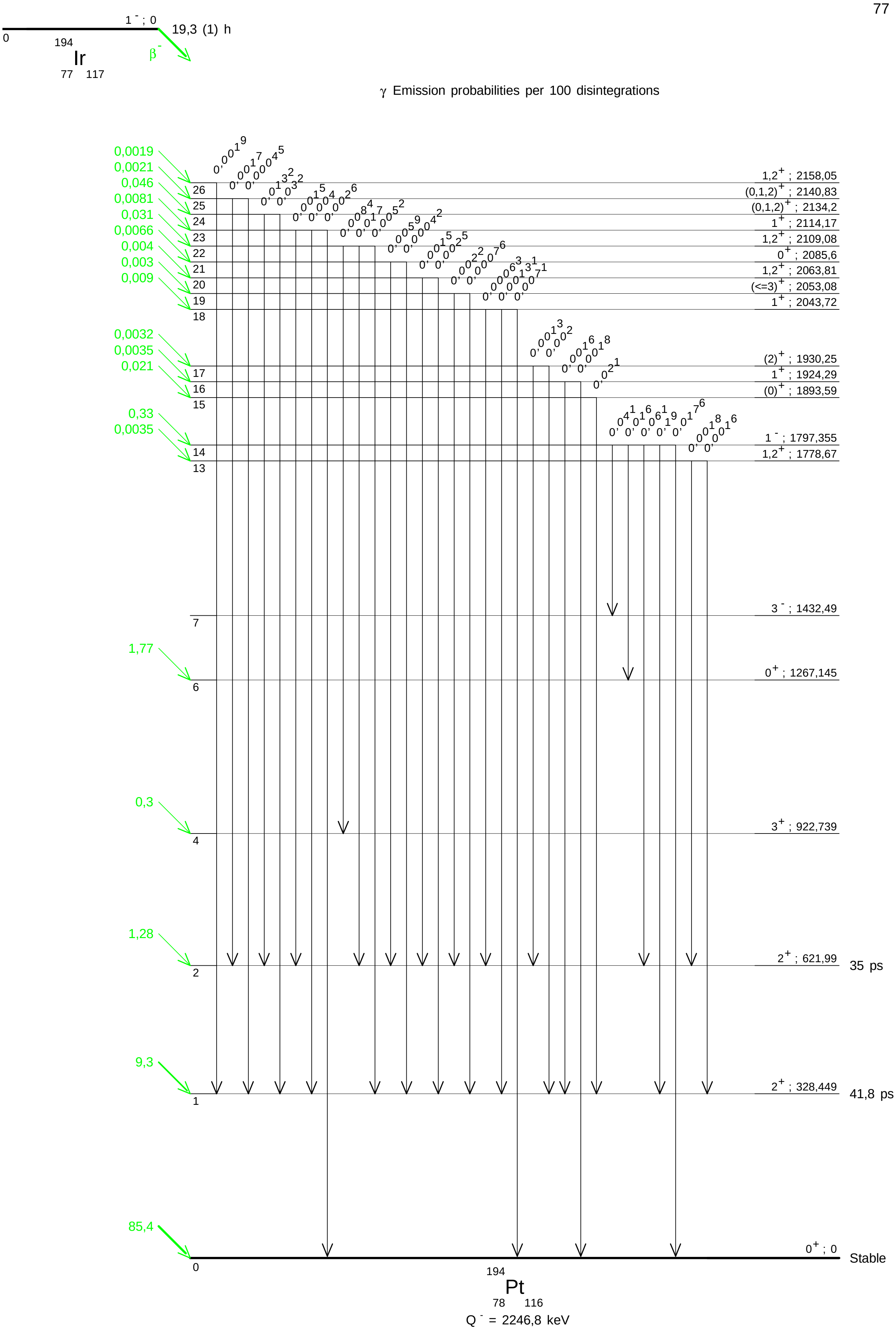
1 - ; 0
19,3 (1) h
0
194 Ir 77 117
β-
γ Emission probabilities per 100 disintegrations
0,0019
0,0021
0,046
0,0081
0,031
0,0066
0,004
0,003
0,009
0,0032
0,0035
0,021
0,33
0,0035
1,77
0,3
1,28
9,3
85,4
1,2+ ; 2158,05
(0,1,2)+ ; 2140,83
(0,1,2)+ ; 2134,2
1+ ; 2114,17
1,2+ ; 2109,08
0+ ; 2085,6
1,2+ ; 2063,81
(<=3)+ ; 2053,08
1+ ; 2043,72
(2)+ ; 1930,25
1+ ; 1924,29
(0)+ ; 1893,59
1 - ; 1797,355
1,2+ ; 1778,67
3 - ; 1432,49
0+ ; 1267,145
3+ ; 922,739
2+ ; 621,99
35 ps
2+ ; 328,449
41,8 ps
0+ ; 0
Stable
194 Pt 78 116
Q - = 2246,8 keV
% β- = 100

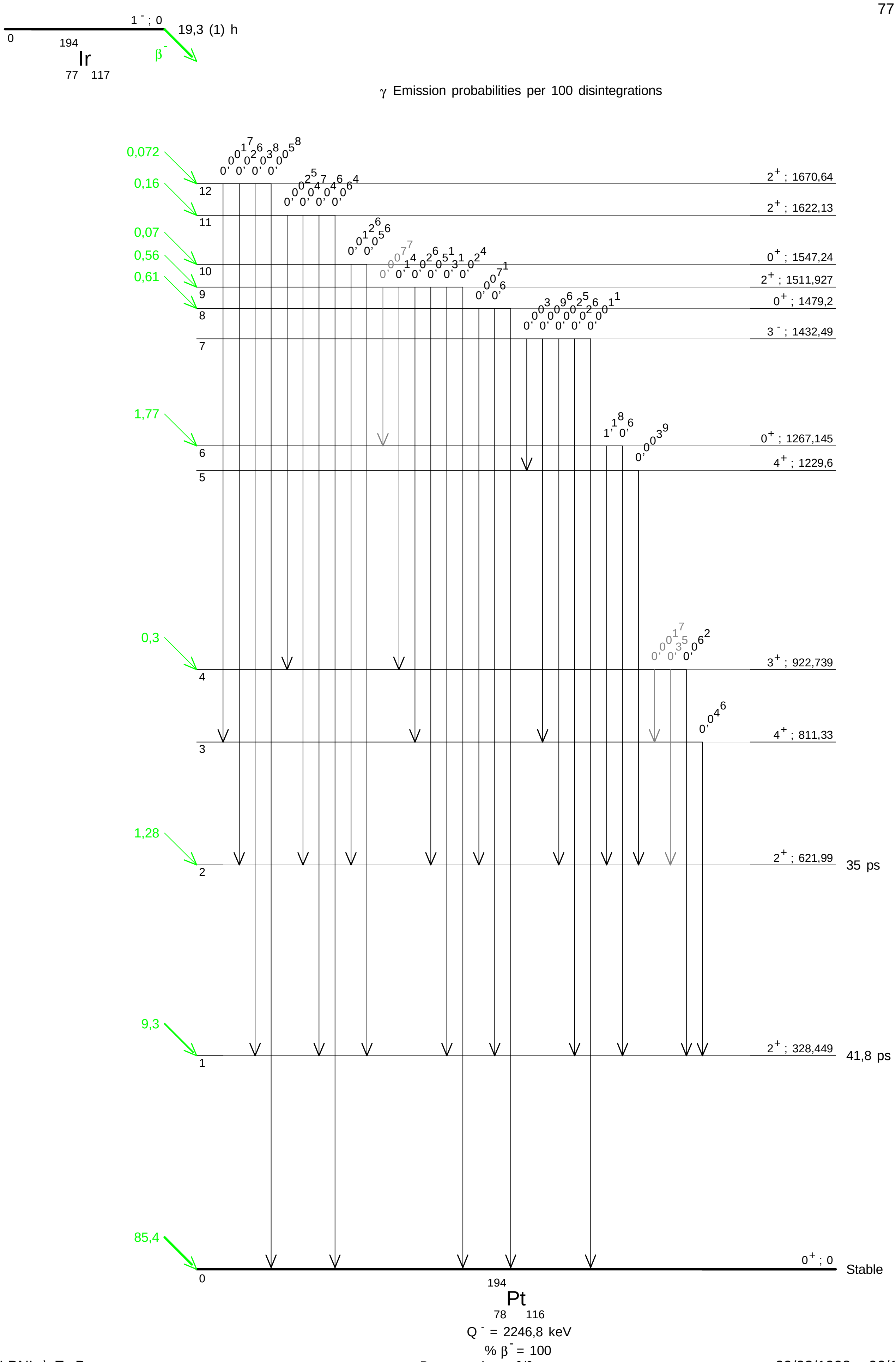
1 - ; 0
0
194 Ir 77 117
19,3 (1) h
β -
γ Emission probabilities per 100 disintegrations
0,072
0,16
0,07
0,56
0,61
1,77
0,3
1,28
9,3
85,4
2 + ; 1670,64
2 + ; 1622,13
0 + ; 1547,24
2 + ; 1511,927
0 + ; 1479,2
3 - ; 1432,49
0 + ; 1267,145
4 + ; 1229,6
3 + ; 922,739
4 + ; 811,33
2 + ; 621,99
35 ps
2 + ; 328,449
41,8 ps
0 + ; 0
Stable
194 Pt 78 116
Q - = 2246,8 keV
% β - = 100

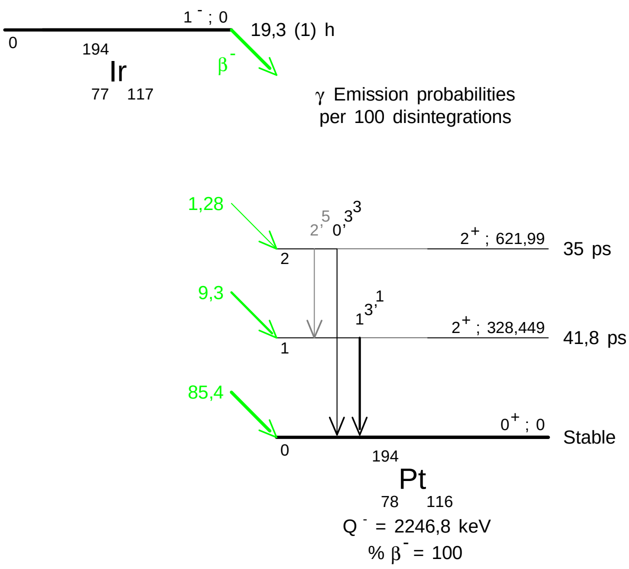
1 - ; 0
19,3 (1) h
0
194
Ir
77 117
β-
γ Emission probabilities
per 100 disintegrations
1,28
5
3
3
2'
0'
2+ ; 621,99
35 ps
2
9,3
1
3'
1
2+ ; 328,449
41,8 ps
1
85,4
0+ ; 0
Stable
0
194
Pt
78 116
Q - = 2246,8 keV
% β- = 100